

## استخراج و بازسازی خودکار اطلاعات سه بعدی زمین فوتبال در تصاویر تک دوربینی کالیبره نشده

مرتضی نصیری<sup>۱</sup>، دانشجوی کارشناسی ارشد، علیرضا بهراد<sup>۲</sup>، دانشیار،

۱- دانشکده فنی و مهندسی- دانشگاه شاهد - تهران - ایران - mo.nasiri@shahed.ac.ir

۲- دانشکده فنی و مهندسی - دانشگاه شاهد - تهران - ایران - behrad@shahed.ac.ir

**چکیده:** تخمین مکان و موقعیت سه بعدی بازیکنان یکی از بحث برانگیزترین موضوعات در تحلیل ویدئوهای در دسترس از بازی فوتبال معمولاً با دوربین های کالیبره نشده تهیه می شوند؛ بنابراین کالیبراسیون دوربین و تخمین مکان آن، گام اول در محاسبه موقعیت سه بعدی بازیکن ها است. برای کالیبراسیون معمولاً به تعدادی نقطه از دنیای واقعی و متناظر تصویری آن نقاط نیاز داریم. بنابراین اولین مرحله در الگوریتم پیشنهادی، استخراج نقاط مشخص در زمین فوتبال به صورت خودکار است. سپس یک روش جدید برای کالیبراسیون دوربین و تخمین مکان آن ارائه می شود. این روش از هم صفحه بودن نقاط در زمین فوتبال و مکان های مشخص آنها برای کالیبراسیون دوربین استفاده می کند. در این مقاله یک مدل فرم بسته برای محاسبه پارامترهای مختلف دوربین ارائه شده است. الگوریتم پیشنهادشده با داده های واقعی و شبیه سازی شده تست شده و با الگوریتم های مشابه مقایسه گردید. نتایج آزمایشی نشان دهنده کارایی بالای الگوریتم پیشنهادی است.

**واژه های کلیدی:** کالیبراسیون خودکار دوربین، بازسازی صحنه های سه بعدی، تحلیل تصاویر بازی فوتبال.

## 3D Reconstruction and Pose Estimation in Monocular Uncalibrated Soccer Images

M. Nasiri<sup>1</sup>, A. Behrad<sup>2</sup>,

1, 2- Faculty of Engineering, Shahed University, Tehran, Iran.

**Abstract:** 3D pose estimation of players' location is one of the challenging issues in the soccer video analysis. The soccer videos are generally captured using uncalibrated cameras, therefore the first step to calculate 3D pose of the players is the camera calibration and estimating its location. For the purpose of calibration, it is necessary to extract some 3D points and their image correspondence. Therefore, in the first stage of the proposed algorithm, we automatically extract points and the required data for calibration. Then a new method for camera calibration is proposed based on the coplanarity of the soccer field. The method uses coplanarity of points in soccer plane and their known location for camera calibration. We derive a closed form model to calculate different camera parameters. We compare the results of the proposed method with those of existing methods and results show the efficiency of the proposed algorithm.

**Keywords:** Automatic camera calibration; 3D scene reconstruction; Soccer video analysis.

تاریخ ارسال مقاله: ۱۳۹۲/۱۰/۲۰

تاریخ اصلاح مقاله: ۱۳۹۲/۱۲/۴

تاریخ پذیرش مقاله: ۱۳۹۲/۱۲/۲۵

نام نویسنده مسئول: علیرضا بهراد

نشانی نویسنده مسئول: ایران - تهران - بزرگراه خلیج فارس - دانشگاه شاهد - دانشکده فنی مهندسی

## ۱- مقدمه

است که بر روی یک صفحه نیستند. با حل یک سری مسئله‌های بهینه‌سازی غیرخطی می‌توان برای هر دو نوع کالیبراسیون، پاسخ بهینه را یافت. اما تفاوت‌های ساختاری قابل ملاحظه‌ای بین رابطه‌بندی این دو نوع کالیبراسیون وجود دارد. در [۲۵] به این تفاوت‌های محاسباتی و الگوریتمی اشاره شده است. این مرجع یک دسته از الگوریتم‌های کارآمد را برای کالیبراسیون هم‌صفحه فراهم و گردآوری کرده است. کالیبراسیون هم‌صفحه، کاربردهای متعددی در سامانه‌های نظامی و تجاری دارد. آقای تسای یکی از پیشگامان کالیبراسیون دوربین، مخصوصاً کالیبراسیون هم‌صفحه است [۲۸]. ایشان روشی را طراحی کرده‌اند که مدل دوربین، همراه با اعوجاج دوربین در یک الگوریتم دو مرحله‌ای محاسبه می‌شود. در گام اول، برخی از پارامترهای دوربین به صورت فرم بسته به دست می‌آیند. پارامترهای دیگر مانند فاصله کانونی، مولفه عمق (سوم) بردار انتقال و اعوجاج شعاعی دوربین با استفاده از یک بهینه‌سازی غیرخطی و یک سری مراحل تکراری به دست می‌آیند. این روش برای محاسبه پارامترهای دوربین وقتی که صفحه نقاط بر جهت دید دوربین عمود است، ناموفق عمل می‌کند.

آقای سیریسان‌تی‌سامرید و همکارانش یک روش ساده برای تعیین پارامترهای دوربین با استفاده از کالیبراسیون هم‌صفحه پیشنهاد داده‌اند [۲۹]. در روش پیشنهادی ایشان، محاسبات پارامترهای کالیبراسیون به صورت مستقیم از روی تصویر رایانه‌ای پیکسلی انجام می‌شود و پارامترهای کالیبراسیون با استفاده از روش خطی به دست می‌آیند. البته این محاسبات، با صرف نظر از اعوجاج دوربین و این فرض که ضریب مقیاس یک است، انجام می‌شوند. این دو فرض در مورد بیش‌تر تصاویر ویدئویی فوتبال در نظر گرفته می‌شوند، اما در این روش، مختصات مرکز تصویر در هر دو جهت  $x$  و  $y$  برابر فرض شده است ( $C_x = C_y$ ). این فرض باعث شده است که الگوریتم ایشان برای

اغلب تصاویر ویدئویی فوتبال که مربعی نیستند ناکارآمد گردد. در این مقاله یک روش جدید برای کالیبراسیون دوربین با استفاده از محدودیت هم‌صفحه بودن در تصاویر بازی فوتبال پیشنهاد داده شده است. ما فرض کردیم که محور نوری دوربین، از مرکز تصویر عبور می‌کند و با صرف نظر از اعوجاج دوربین، به یک روش فرم بسته برای محاسبه پارامترهای دوربین و مکان دوربین دست یافتیم. در الگوریتم پیشنهادی تصاویر می‌توانند مربعی یا مستطیلی بوده و محدودیتی در این زمینه قائل نشده‌ایم. همچنین به منظور استخراج نقاط در تصویر زمین فوتبال و نقاط متناظر آن‌ها در دنیای واقعی سه‌بعدی از یک روش جدید و خودکار استفاده می‌شود که عملکرد خوبی در مقایسه با روش‌های مشابه دارد.

ساختار این مقاله به صورت زیر است: به دنبال این بخش و در بخش بعدی الگوریتم استخراج خودکار نقاط و نقاط متناظر آن‌ها در فضای سه‌بعدی آورده شده است. در بخش‌های سوم و چهارم به ترتیب مدل دوربین و الگوریتم پیشنهادی برای کالیبراسیون دوربین بحث

افزایش علاقه به بازی فوتبال در این روزها باعث شده است که این ورزش به یکی از محبوب‌ترین بازی‌ها در سراسر دنیا تبدیل شود. تحلیل رایانه‌ای رخدادهای این بازی امری ضروری برای مردم را و داوران و هم‌چنین تماشاگران است تا به ارزیابی یک ویدئوی ضبط شده بپردازند. اخیراً در زمینه رایانه‌ای سازی و تحلیل ویدئویی بازی فوتبال روش‌هایی بر مبنای فناوری GPS ارائه شده است [۱ و ۲].

این روش‌ها دارای صحت بالایی هستند و به صورت بی‌درنگ<sup>۱</sup> کار می‌کنند، اما نیاز به تجهیزات گران‌قیمت و نسبتاً سنگین دارند که باید توسط ورزشکاران حمل گرددند. این تجهیزات، ظرف و شکننده هستند و برای بازی‌های فوتبال رسمی قابل به کارگیری نیستند.

امروزه، سامانه‌های رایانه‌ای استفاده کننده از دوربین، ویدئو و الگوریتم‌های مبتنی بر بینایی ماشین متدالوی تر و پرکاربردتر شده‌اند. این روش‌ها دقت نسبتاً بالایی دارند؛ اما معمولاً نیاز به دوربین‌های کالیبره‌شده‌ای دارند که مکان آن‌ها هم معلوم است [۲۴-۳]. بخش اعظمی از منابع ویدئویی بازی فوتبال را تصاویری تشکیل می‌دهند که با استفاده از تک‌دوربین‌های متدالوی (غیراستریو) و کالیبره‌نشده تهیه شده‌اند. بنابراین تحلیل رایانه‌ای این ویدئوها بسیار مهم است. اولین مرحله در تحلیل ویدئوی تهیه شده با دوربین تک‌چشمی کالیبره‌نشده، کالیبراسیون دوربین و تخمین پارامترهای داخلی و خارجی دوربین است. چندین روش برای کالیبراسیون تصاویری ویدئویی فوتبال کالیبره‌نشده ارائه شده است که بیش‌تر آن‌ها بر مبنای هم‌صفحه بودن زمین فوتبال هستند [۲۵].

برخی روش‌ها از اطلاعات فریم‌های متواالی برای کالیبراسیون دوربین به صورت بی‌درنگ استفاده می‌کنند [۱۲]. برخی از روش‌های موجود برای این کار از مدل‌های زمین بازی<sup>۲</sup> [۱۴ و ۱۵] و برخی دیگر از نقاط دایره‌ای<sup>۳</sup> استفاده می‌کنند [۲۶]. استفاده از نقاط محوشونده<sup>۴</sup> نیز برای محاسبه پارامترهای خارجی دوربین، گزارش شده است [۱۳]. نقاط محوشونده، نقاطی از تصویر هستند که از نقاط خطوط موازی در دنیای واقعی به دست می‌آیند. برخی از محققان از روش‌های بهینه‌سازی مختلف برای افزایش دقت کالیبراسیون دوربین در زمین فوتبال استفاده کرده‌اند [۲۰].

به‌منظور کالیبراسیون باید تعدادی نقطه متناظر در تصویر و دنیای واقعی استخراج شود. برای این منظور، برخی از روش‌ها از استخراج خطوط و منحنی‌ها با استفاده از تبدیل هاف<sup>۵</sup> بهره می‌برند [۲۷]. یکی از ویژگی‌های زمین فوتبال، هم‌صفحه بودن نقاط موجود در آن است. لذا از کالیبراسیون هم‌صفحه<sup>۶</sup> در الگوریتم پیشنهادی استفاده می‌شود.

کالیبراسیون هم‌صفحه دوربین فرایندی است که طی آن پارامترهای داخلی و خارجی دوربین از روی دسته‌ای از نقاط هم‌صفحه تصویر و نقاط متناظر شان در دنیای سه‌بعدی تعیین می‌گردد. از سوی دیگر کالیبراسیون غیر هم‌صفحه<sup>۷</sup> شامل نقاطی از دنیای سه‌بعدی

$$x' = \frac{a_0 + a_1 x + a_2 y}{c_0 + c_1 x + c_2 y} \quad (1)$$

$$y' = \frac{b_0 + b_1 x + b_2 y}{c_0 + c_1 x + c_2 y} \quad (2)$$

در روابط فوق  $(x, y)$  و  $(x', y')$  به ترتیب مختصات نقاط زمین فوتبال در دو تصویر متفاوت از زمین فوتبال است. از سوی دیگر در صورتی که فرض کنیم  $(x, y)$  مختصات نقاط متعلق به دوربین عمود بر زمین باشد؛ در این حالت، بر اساس رابطه تبدیل تصویر و با توجه به ثابت بودن  $Z_c$  در این حالت، روابط (۳) و (۴) صدق می‌کند.

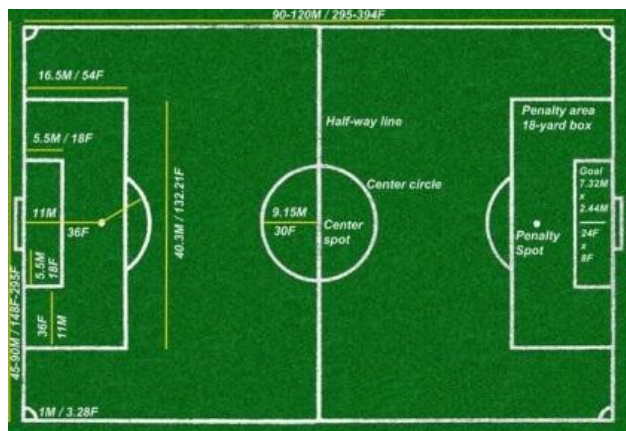
$$X = f(X_c/Z_c) = k_x X_c \quad (3)$$

$$Y = f(Y_c/Z_c) = k_y Y_c \quad (4)$$

با جایگذاری روابط (۳) و (۴) در رابطه‌های (۱) و (۲) روابط (۵) و (۶) به دست می‌آید:

$$x' = \frac{a'_0 + a'_1 X_c + a'_2 Y_c}{1 + c'_1 X_c + c'_2 Y_c} \quad (5)$$

در روابط فوق  $(x', y')$  مختصات نقاط در تصویر ورودی بوده و می‌تواند مربوط به تصویر دوربین با هر زاویه دلخواه باشد و  $(X_c, Y_c)$  مختصات متناظر آنها در فضای سه بعدی دوربینی است که به صورت عمود به زمین فوتبال قرار دارد. برای تعیین مقادیر  $(X_c, Y_c)$  از اندازه استاندارد زمین که در شکل (۱) نشان داده شده است، استفاده می‌کنیم.



شکل (۱): اندازه‌های استاندارد زمین فوتبال

می‌شوند. در بخش پنجم نیز نتایج تجربی آورده شده و در انتهای، نتیجه‌گیری انجام می‌شود.

## ۲- استخراج خودکار نقاط مهم در زمین فوتبال

اولین مرحله برای بازسازی اطلاعات سه بعدی زمین فوتبال، استخراج یک دسته نقاط در تصویر و متناظر سه بعدی آنها می‌باشد. ما یک روش جدید برای استخراج یک دسته نقاط در تصویر زمین فوتبال ارائه کرده‌ایم که مختصات سه بعدی متناظر آنها را بر حسب اندازه‌های زمین فوتبال مشخص است.

برای این منظور در ابتدا باید به استخراج خطوط زمین فوتبال پرداخت تا به کمک قطع آنها با هم بتوان نقاط مشخص را راحت‌تر یافت. اما وجود جایگاه تماشاگران باعث می‌شود که خطوط بسیاری که مزاحم و ناکارآمد هم هستند به همراه خطوط اصلی استخراج گردند. برای اجتناب از این موضوع در ابتدای کار، قسمت اصلی و مورد استفاده از تصویر که زمین بازی است را استخراج می‌کنیم. برای این کار از اجزای رنگی تصاویر استفاده می‌کنیم. معیاری که برای این کار از آن استفاده کردیم به صورت زیر تعریف می‌شود:

Green > Red

Green > Blue

به این ترتیب که برای همه پیکسل‌های تصویر، این شرط را بررسی کرده و در صورت برآورده شدن شرط برای هر پیکسل از تصویر، آن پیکسل به صورت منطقه سیز رنگ زمین فوتبال گزارش داده می‌شود. این معیار را با تعداد زیادی از تصاویر زمین فوتبال ارزیابی کردیم و نتایج بسیار خوب و مناسب بود.

اما به دلیل یکپارچه نبودن این منطقه، به کمک برجسب‌گذاری<sup>۸</sup> اجزای به هم پیوسته<sup>۹</sup> و یک رای گیری ساده، بزرگ‌ترین جز پیوسته را استخراج می‌کنیم و به عنوان منطقه بازی آن را از بقیه قسمت‌ها جدا می‌کنیم. در تصویر سطح خاکستری شده از ورودی آن قسمتی که باید حذف گردد را سیاه رنگ می‌کنیم.

از تصویر سطح خاکستری باقیمانده، با استفاده از تبدیل هاف استاندارد، خطوط موجود را استخراج می‌کنیم. سپس این خطوط را در دو دسته از نظر موازی بودن تقسیم می‌کنیم. این دو دسته خطوط باید در دنیای واقعی بر هم عمود باشند؛ ولی با توجه به عدم حفظ زاویه در تصاویر، از شبیه و زاویه خطوط در فضای هاف برای دسته‌بندی خطوط در دو دسته موازی و عمود بر هم استفاده می‌شود. ما باید از میان این خطوط، خطوط مناسب را انتخاب کنیم.

انتخاب دقیق خطوط در این مرحله بسیار مهم می‌باشد، لذا ما از مدل هندسی بین دو تصویر زمین فوتبال برای این منظور استفاده کردیم. در دنیای واقعی خطوط زمین فوتبال حالت موازی و عمود بر هم دارند. با توجه به هم‌صفحه بودن نقاط در زمین فوتبال، می‌توان ثابت کرد که رابطه بین دو تصویر از نقاط هم‌صفحه زمین فوتبال از مدل افکنشی<sup>۱۰</sup> به صورت روابط (۱) و (۲) پیروی می‌کند.

### ۳- مدل دوربین

در این مقاله از مدل دوربین حفره سوزنی<sup>۱۱</sup> برای کالیبراسیون استفاده شده است. مدل دوربین شامل پارامترهای داخلی و خارجی است. پارامترهای خارجی، شامل یک ماتریس سه در سه چرخش  $R$  که جهت دوربین را مشخص می‌کند و بردار انتقال  $t$  سه بعدی است که مکان سه بعدی دوربین را تعریف می‌کند. پارامترهای داخلی دوربین، نیز عبارت از فاصله کانونی دوربین ( $f$ )، مرکز نوری تصویر ( $C_x, C_y$ )، نسبت منظر<sup>۱۲</sup> یا ضریب مقیاس تصویر ( $s$ ) و اعوجاج عدسی می‌باشد. با در نظر گرفتن مدل حفره سوزنی برای دوربین روابط میان مکان نقاط سه بعدی در مختصات دوربین ( $X_c, Y_c, Z_c$ ) و نقاط متناظر شان بر روی صفحه تصویر به صورت رابطه‌های (۷) و (۸) خواهد بود.

$$x_u = -f(X_c/Z_c) \quad (7)$$

$$y_u = -f(Y_c/Z_c) \quad (8)$$

که ( $x_u, y_u$ ) مختصات تصویری بدون اعوجاج و ایده‌آل است. این دو معادله به معادلات افکنش بعدنمایی<sup>۱۳</sup> مشهور است. با اعمال ماتریس چرخش و بردار انتقال به نقاط متناظر در مختصات جهانی دلخواه، داریم:

$$[X_c, Y_c, Z_c]^T = [R/t] [X_w, Y_w, Z_w]^T \quad (9)$$

در نهایت با صرف نظر از اعوجاج عدسی‌ها، رابطه نهایی میان نقاط بدون اعوجاج بر روی صفحه تصویر و متناظر شان بر روی فریم به صورت رابطه (۱۰) خواهد بود.

$$\begin{aligned} (x_f - C_x)s_x &= x_u \\ (y_f - C_y)s_y &= y_u \end{aligned} \quad (10)$$

با ترکیب معادلات (۷) تا (۱۰) و اعمال محدودیت هم‌صفحه بودن یعنی  $Z_w = 0$  داریم:

$$\begin{bmatrix} \alpha x_f \\ \alpha y_f \\ \alpha \end{bmatrix} = \begin{bmatrix} -f_x r_1 + C_x r_7 & -f_x r_2 + C_x r_8 & -f_x t_1 + C_x t_3 \\ -f_y r_4 + C_y r_7 & -f_y r_5 + C_y r_8 & -f_y t_2 + C_y t_3 \\ r_7 & r_8 & t_3 \end{bmatrix} \begin{bmatrix} X_w \\ Y_w \\ 1 \end{bmatrix} \quad (11)$$

$$\begin{aligned} f_x &= \frac{f}{s_x} \\ f_y &= \frac{f}{s_y} \end{aligned} \quad (12)$$

که  $f_x$  و  $f_y$  فاصله کانونی موثر در جهت‌های  $x$  و  $y$  و  $\alpha$  یک ضریب غیرصفر به عنوان ضریب مقیاس است. پارامترهای  $r_1$  تا  $r_8$  و  $t_1$  تا  $t_3$

روابط (۵) و (۶) نشان‌دهنده صادق بودن رابطه افکنشی بین نقاط یک تصویر دلخواه از زمین فوتبال و مختصات متناظر آن‌ها در فضای سه بعدی دوربینی است. ما از این خاصیت به عنوان معیاری برای انتخاب درست خطوط استخراج شده در تصاویر زمین فوتبال و انتساب آن‌ها به خطوط واقعی زمین فوتبال استفاده کردی‌ایم. این کار به این دلیل است که در استخراج و تعیین خطوط زمین فوتبال ممکن است برخی از خطوط به دلیل زاویه دید دوربین یا عدم کنتراس است مناسب تصویر و روایی تشخیص داده نشوند یا برخی خطوط اضافی تشخیص داده شوند. لذا تعیین این که هر خط استخراجی مطابق با کدام خط زمین در دنیای سه بعدی است، تیزامند الگوریتم مناسبی می‌باشد. برای این منظور ما از رابطه افکنشی موجود مختصات نقاط در تصویر و روایی یعنی  $(x', y')$  و مختصات نقاط زمین فوتبال در دنیای واقعی یعنی  $(X_c, Y_c)$  استفاده کردی‌ایم. این الگوریتم دارای مراحل زیر است:

۱. استخراج خطوط در تصویر و روایی زمین فوتبال
۲. تشخیص خطوط عمودی و افقی در تصویر و روایی زمین فوتبال
۳. انتخاب دو خط عمودی و افقی و نسبت دادن آن به دو خط عمودی و افقی زمین فوتبال در دنیای واقعی
۴. استخراج چهار نقطه تقاطع خطوط و محاسبه ضرایب مدل افکنشی در روابط (۵) و (۶)
۵. تبدیل خطوط زمین فوتبال در دنیای واقعی با استفاده از مدل افکنشی محاسبه شده
۶. محاسبه میزان خطای بین خطوط تبدیل یافته و خطوط استخراج شده در زمین فوتبال
۷. تکرار مراحل ۲ تا ۶ برای انتخاب مدل بهینه
۸. استفاده از مدل بهینه و خطوط تصدیق‌کننده این مدل خطوط برای تعیین مختصات نقاط لازم برای کالیبراسیون همان‌طور که در مراحل بالا ذکر شده است، معیار خطایی بر اساس ضرایب افکنش به دست آمده از تقاطع خطوط انتخاب شده تعريف می‌کنیم. برای تعريف این معیار در ابتدا فرض می‌کنیم که هر یک از این خطهای تصویر و روایی یک خط مشخصی از زمین فوتبال هستند و با این فرض نقاط تقاطع خطوط را به دست می‌آوریم. بر اساس آن نقاط ضرایب تبدیل افکنش از دنیای واقعی به تصویر، استخراج می‌شوند. با اعمال مختصات استاندارد زمین فوتبال به این ضرایب یک سری نقاط در تصویر به دست می‌آید که با محاسبه فاصله اقلیدسی آن‌ها از نقاط اولیه تصویری که از تقاطع خطوط به دست آمده بودند برای هر دسته خطوط فرض شده، میزان خطای به دست آمده و ذخیره می‌شوند. در انتها دسته خطوط دارای کمترین خطای به عنوان بهترین دسته، گزارش می‌گردد. در ادامه کار با استفاده از این دسته نقاط برگزیده به کالیبراسیون دوربین می‌پردازیم.

به ترتیب درایه‌های ماتریس چرخش و بردار انتقال هستند که به

صورت زیر بیان می‌شوند:

$$\mathbf{b} = \begin{bmatrix} (C_x r_7 - f r_1) / t_3 \\ (C_x r_8 - f r_2) / t_3 \\ (C_y r_7 - f r_4) / t_3 \\ (C_y r_8 - f_y r_5) / t_3 \\ r_7 / t_3 \\ r_8 / t_3 \\ (C_x t_3 - f t_1) / t_3 \\ (C_y t_3 - f t_2) / t_3 \end{bmatrix} \quad (19)$$

$$R = \begin{bmatrix} r_1 & r_2 & r_3 \\ r_4 & r_5 & r_6 \\ r_7 & r_8 & r_9 \end{bmatrix} \quad (13)$$

$$\mathbf{t} = \begin{bmatrix} t_1 \\ t_2 \\ t_3 \end{bmatrix} \quad (14)$$

$$\mathbf{c} = \begin{bmatrix} x_{f_1} \\ y_{f_1} \\ \vdots \\ x_{f_n} \\ y_{f_n} \end{bmatrix} \quad (20)$$

روابط بالا یک دسته معادلات خطی برای بردار مجهول  $\mathbf{b}$  است که می‌توان آن را با استفاده از محدودیت کمینه میانگین مربعات<sup>۱۵</sup> (LMS) و روش شبهمعکوس<sup>۱۶</sup> حل کرد. با محاسبه مقادیر بردار  $\mathbf{b}$  صورت مجهولات به  $\mathbf{b}^T = [b_1 \ b_2 \ b_3 \ b_4 \ b_5 \ b_6 \ b_7 \ b_8]$  و تعریف  $a = b_4 b_5 - b_3 b_6$ ،  $e = b_1 b_4 - b_2 b_3$ ،  $c = a + d$ ،  $d = b_1 b_6 - b_2 b_5$  متغیرهای واسط به صورت  $\xi = \sqrt{\frac{b_5^2 + b_6^2}{a^2 + d^2}}$  پارامترهای دوربین را می‌توان با استفاده از روابط (۲۱) تا (۲۵) بدست آورد.

$$t_3 = \sqrt{\frac{1 - \xi^4(e - c C_x - d C_x(k - 1))^2}{b_5^2 + b_6^2}} \quad (21)$$

$$f = \frac{t_3}{\xi} \quad (22)$$

$$\begin{aligned} r_1 &= -\xi(b_1 - C_x b_5) \\ r_2 &= -\xi(b_2 - C_x b_6) \\ r_3 &= \xi t_3 a \\ r_4 &= -\xi(b_3 - C_y b_5) \\ r_5 &= -\xi(b_4 - C_y b_6) \\ r_6 &= \xi t_3 d \\ r_7 &= b_5 t_3 \\ r_8 &= b_6 t_3 \\ r_9 &= -\xi^2(e - c C_x - d C_x(k - 1)) \\ t_1 &= \xi(C_x - b_7) \end{aligned} \quad (23) \quad (24)$$

$$t_2 = \xi(C_y - b_8) \quad (25)$$

#### ۴- معادلات فرم بسته برای کالیبراسیون دوربین

در روش پیشنهادی برای کالیبراسیون دوربین، معادلات فرم بسته‌ای استخراج شده است که با استفاده از آن‌ها به صورت مستقیم پارامترهای دوربین قابل محاسبه است. در این قسمت به توضیح معادلات فرم بسته برای کالیبراسیون دوربین و محاسبه پارامترهای دوربین می‌پردازیم. با فرض  $f_x = f_y = f$ ، تبدیل از مرجع مختصات جهانی به مرجع مختصات دوربین (رابطه ۱۱) را می‌توان به صورت دو معادله همخطی<sup>۱۴</sup> (۱۵) و (۱۶) نوشت:

$$x_f = \frac{(-sfr_1 + C_x r_7)X_w + (-sfr_2 + C_x r_8)Y_w + (-sft_1 + C_x t_3)}{r_7 X_w + r_8 Y_w + t_3} \quad (15)$$

$$y_f = \frac{(-fr_4 + C_y r_7)X_w + (-fr_5 + C_y r_8)Y_w + (-ft_2 + C_y t_3)}{r_7 X_w + r_8 Y_w + t_3} \quad (16)$$

با این فرض که محور نوری دوربین مرکز تصویر را قطع می‌کند، پارامترهای کالیبراسیون شامل ماتریس چرخش  $R$ ، بردار انتقال  $\mathbf{t}$  و فاصله کانونی  $f$  است. با داشتن  $n$  نقطه کنترلی به عنوان نقاط کالیبراسیون، معادلات (۱۵) و (۱۶) را می‌توان به صورت ماتریسی و به صورت رابطه (۱۷) نوشت:

$$\mathbf{Ab} = \mathbf{c} \quad (17)$$

که  $\mathbf{A}$ ،  $\mathbf{b}$  و  $\mathbf{c}$  به صورت روابط ۱۸ تا ۲۰ تعریف می‌شوند.

$$\mathbf{A} = \begin{bmatrix} X_{w_1} & Y_{w_1} & 0 & 0 & -X_{w_1}x_{f_1} & -Y_{w_1}x_{f_1} & 1 & 0 \\ 0 & 0 & X_{w_1} & -Y_{w_1} & -X_{w_1}y_{f_1} & -Y_{w_1}y_{f_1} & 0 & 1 \\ \vdots & \vdots \\ X_{w_n} & Y_{w_n} & 0 & 0 & -X_{w_n}x_{f_n} & -Y_{w_n}x_{f_n} & 1 & 0 \\ 0 & 0 & X_{w_n} & -Y_{w_n} & -Y_{w_n}y_{f_n} & -Y_{w_n}y_{f_n} & 0 & 1 \end{bmatrix} \quad (18)$$

۱- میزان ارتفاع دوربین در برخی از تصاویر به صورت میانگین  $10/545$  متر تخمین زده شد. این ارتفاع برای دوربین ثبت واقعی فوتیال، پایین است. این ارتفاع پایین باعث می‌شود که خطوط به هم بسیار نزدیک دیده شوند و کار استخراج و انتخاب آن‌ها با مشکل روبرو شود (هر دو تصویر شکل (۸)).

۲- کیفیت پایین تصاویر به دلیل حرکت سریع دوربین باعث شده است که خطوط با رنگ سبز زمینه ترکیب شود. همچنین رنگ سفید کم‌رنگ این خطوط، هم عامل مزاحمی برای استخراج خطوط است (تصویر سمت راست شکل (۸)).

۳- خطوطی در پشت دروازه مشخص شده است که این کار غیرمعمول است و بیشتر تر تزئینی است. این خطوط در هر دو تصویر شکل (۸) قابل مشاهده است. این خطوط به خصوص وقتی دوربین بزرگ‌نمایی دارد (همانند تصویر سمت چپ شکل (۸)) بیشتر مشکل‌ساز می‌شوند؛ زیرا وجود این خطوط باعث می‌شود که به اشتباه به عنوان خطوط محوطه جرمیه، شناسایی شوند.

۴- شکل شطرنجی زمین و تفاوت رنگی هر مربع باعث می‌شود که گاه‌ها مرز بین این ناحیه‌ها به اشتباه به عنوان خطوط استخراج شود.

۵- ازدحام بازیکن‌ها در حوالی یک خط و عدم استخراج آن خط نیز در برخی از تصاویر باعث ایجاد خطای شود.

۶- در برخی از تصاویر، تعداد خطوط لازم برای استخراج نقاط وجود ندارد.

الگوریتم کالیبراسیون پیشنهادی همچنین با دو سری تصاویر مصنوعی شامل: (۱)  $30 \times 10$  تصویر مستطیلی و (۲)  $10 \times 10$  تصویر مربعی تست شد. برای هر دو این دسته داده‌ها، پارامترهای محاسبه شده توسط روش پیشنهادی با نتایج به دست آمده از روش تسای [۲۸] و روش آقای سیریسان‌تی‌سایرد و همکارانش [۲۹] مقایسه شد. جدول‌های (۱) و (۲) نتایج کالیبراسیون به دست آمده با این دو روش را نشان می‌دهند. این جدول‌ها به گزارش میانگین و واریانس خطای مطلق روش پیشنهادی و دو روش دیگر می‌پردازد. نتایج نشان داده شده در جداول، حاکی از این است که روش پیشنهادی دارای دقت مناسب‌تری نسبت به روش‌های دیگر می‌باشد.

در روش مرجع [۲۹] یک روش فرم بسته برای کالیبراسیون دوربین با استفاده از نقاط هم صفحه معرفی شده است ولی در این روش از فرض  $C_x = C_y$  استفاده شده است. این فرض برای تصاویر مربعی فرض درستی است ولی برای تصاویر واقعی که مستطیلی هستند، این فرض صحت خود را از دست داده و الگوریتم دارای خطای زیادی می‌شود. روش تسای یک الگوریتم چند مرحله‌ای برای کالیبراسیون می‌باشد. در این روش در طی مرحله اول از الگوریتم پارامترهای  $r_1$  تا  $r_9$  و  $t_1$  و  $t_2$  و  $t_3$  محاسبه شده و در مرحله دوم با فرض این که صفحه تصویر بر محور Z عمود نیست، پارامترهای  $f$  و

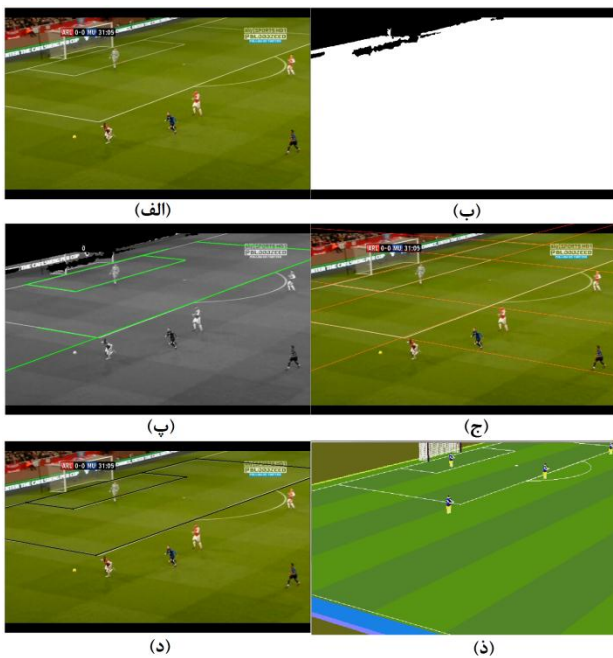
ماتریس چرخش محاسبه شده معمولاً متعامد نیست؛ بنابراین ما این ماتریس محاسبه شده را به کمک روش تجزیه مقادیر تکین<sup>۱۷</sup> SVD متعامد کرده و زوایای چرخش را محاسبه می‌کنیم.

## ۵- نتایج تجربی

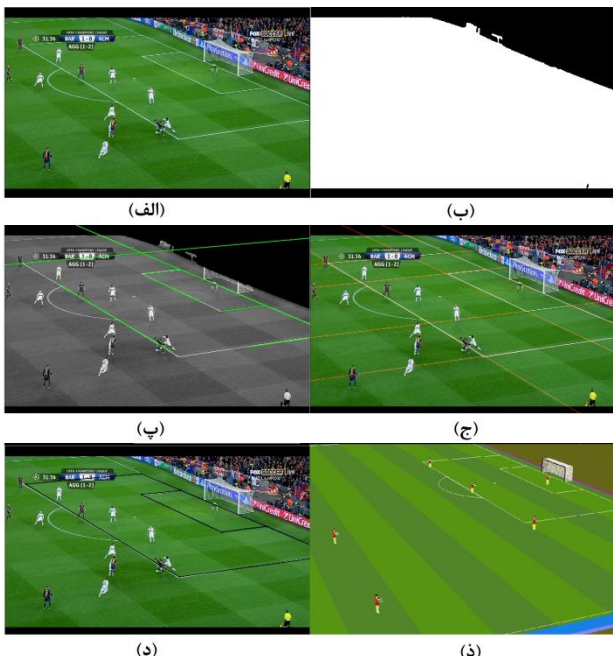
روش پیشنهادی به کمک برنامه MATLAB پیاده‌سازی شده و توسط داده‌های مصنوعی و واقعی مورد ارزیابی قرار گرفت. برای تهیه داده‌های مصنوعی یک برنامه VC++ نوشته شد که از کتابخانه OpenGL استفاده می‌کند. سپس به کمک برنامه داده‌های مصنوعی با پارامترهای داخلی و خارجی معلوم، تهیه کردیم. شکل‌های (۲) و (۳) نمونه‌ای از تصاویر واقعی و مصنوعی هستند که برای تست روش پیشنهادی مورد استفاده قرار گرفتند. در شکل‌های (۴) و (۵) مراحل الگوریتم پیشنهادی برای آشکارسازی خطوط در زمین فوتیال برای دو ناحیه مختلف تصویر نشان داده شده است. همان‌طور که در این شکل‌ها نشان داده شده است. ابتدا ناحیه چمن استخراج و سپس خطوط زمین با استفاده از تبدیل هاف مشخص می‌شوند. در این مرحله ممکن است برخی از خطوط شناسایی نشوند یا خطوط اضافی نیز آشکارسازی شوند. لذا با استفاده از مدل افکنشی بین زمین فوتیال و تصویر زمین، خطوط مشخص‌کننده زمین فوتیال استخراج و نقاط تقاطع مشخص می‌شوند.

برای تست عملکرد الگوریتم پیشنهادی، ۱۵۵ تصویر واقعی از صحنه‌ها و فایل‌های ویدئویی مختلف بازی فوتیال تهیه شد. سپس الگوریتم ناحیه‌بندی و استخراج خطوط به این تصاویر اعمال شد و پارامترهای دوربین محاسبه شد. از آنجا که مدل دوربین برای تصاویر واقعی نامعلوم هست؛ پارامترهای دوربین برای این تصاویر محاسبه کرده و با همان پارامترها، تصاویر مصنوعی با استفاده از نرم‌افزار پیاده‌سازی شده، ایجاد شد و نتایج با تصاویر واقعی به صورت چشمی مقایسه گردید. شکل (۶)، دو نمونه از تصاویر واقعی را به همراه تصاویر مصنوعی شبیه‌سازی شده متناظر شان را که پارامترهای آن توسط الگوریتم پیشنهادی به دست آمده‌اند نشان می‌دهد. همچنین شکل (۷) نشان‌دهنده دو تصویر نوعی مصنوعی و تصاویر شبیه‌سازی شده آن‌ها به کمک پارامترهای به دست آمده از دوربین است.

الگوریتم ناحیه‌بندی و استخراج خطوط پیشنهادی بسته به نوع فایل ویدئویی و تصاویر آن، قابلیت ناحیه‌بندی و استخراج خطوط لازم با درصد موفقیت  $80 \pm 60$  را دارد. در صورت استخراج موفقیت‌آمیز نقاط لازم برای الگوریتم کالیبراسیون پیشنهادی، این الگوریتم توانایی شبیه‌سازی مجدد تصویر ورودی با نرخ موفقیت  $100\%$  درصد را دارد. براساس بررسی‌های صورت گرفته، عوامل متعددی باعث خطای الگوریتم پیشنهادی برای ناحیه‌بندی زمین و استخراج خطوط می‌شوند. شکل (۸) نمونه‌ای از تصاویر دارای خطای مطلق در استخراج خطوط را نشان می‌دهد. برخی از دلایل خطای در الگوریتم پیشنهادی برای ناحیه‌بندی زمین و استخراج خطوط به شرح زیر هستند:



شکل (۴): استخراج خودکار خطوط برای کالیبراسیون دوربین و بازسازی سه بعدی زمین فوتبال برای ناحیه جریمه سمت چپ، (الف) تصویر ورودی، (ب) ناحیه سبز استخراج شده، (پ) خطوط استخراج شده، (ج) تعیین محل برخورد خطوط، (د) تعیین خطوط نهایی، (ذ) تصویر بازسازی شده به کمک پارامترهای دوربین محاسبه شده و الگوریتم کالیبراسیون پیشنهادی.



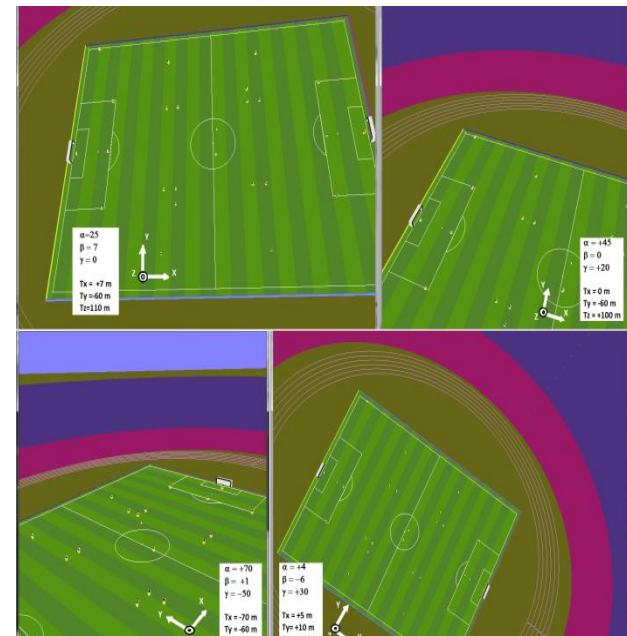
شکل (۵): استخراج خودکار خطوط برای کالیبراسیون دوربین و بازسازی سه بعدی زمین فوتبال برای ناحیه جریمه سمت راست، (الف) تصویر ورودی، (ب) ناحیه سبز استخراج شده، (پ) خطوط استخراج شده، (ج) تعیین محل برخورد خطوط، (د) تعیین خطوط نهایی، (ذ) تصویر بازسازی شده به کمک پارامترهای دوربین محاسبه شده و الگوریتم کالیبراسیون پیشنهادی.

تخمین زده می‌شوند. این فرض در تصاویری که دوربین به صورت عمود بر زمین فوتبال باشد، صدق نکرده و همان‌طور که در جدول‌های (۱) و (۲) نشان داده شده است، باعث ایجاد خطأ در تخمین پارامتر  $t$  می‌شود.

روش پیشنهادی محدودیت‌های فوق را نداشته و می‌تواند برای کالیبراسیون دوربین در تصاویر بازی فوتبال و کاربردهای مربوطه مورد استفاده قرار گیرد.



شکل (۶): چهار مثال از تصاویر تست واقعی.



شکل (۷): چهار نمونه از تصاویر تست مصنوعی.

جدول (۱): نتایج کالیبراسیون تصاویر مستطیلی

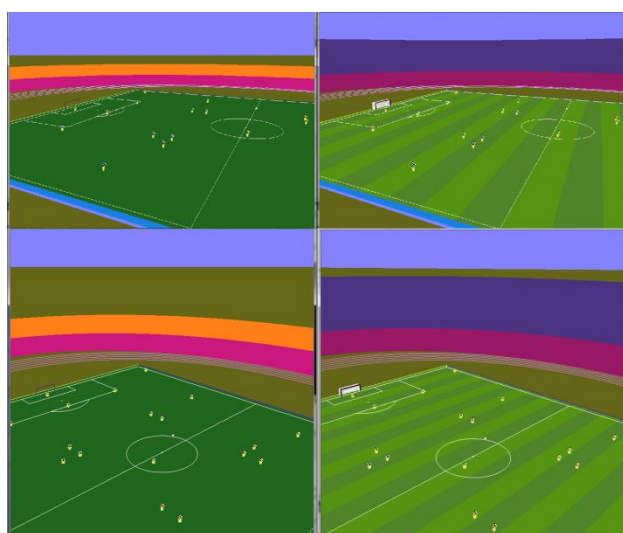
ورایانس خطای مطلق (درجه)		میانگین خطای مطلق (درجه)		
روش پیشنهادی	تسای [۲۸]	روش پیشنهادی	تسای [۲۸]	روش
۰/۰۳	۰/۱	۰/۱۸	۰/۲۹	$\alpha$
۰/۸۶	۰/۸۹	۰/۳۱	۰/۴۶	$\beta$
۲/۲۶	۰/۸۹	۰/۵۳	۰/۳۹	$\gamma$
۰/۶۳	۲/۰۵	۰/۶۶	۱/۱۷	$t_1$
۱۰/۰۱	۲/۵۳	۱/۲	۱/۲۴	$t_2$
۱/۹۳	۹۹/۱۳	۰/۹۴	۶/۱۳	$t_3$
۲/۶۲	۱۷/۶	۰/۶۴	۱/۶۱	میانگین

جدول (۲): نتایج کالیبراسیون تصاویر مربعی

ورایانس خطای مطلق		میانگین خطای مطلق				
روش پیشنهادی	سیریسا نتیسامرید [۲۹]	تسای [۲۸]	روش پیشنهادی سیریسانسیسامرید [۲۹]	تسای [۲۸]	روش	
۰/۰۴	۱/۷۱	۰/۰۷	۰/۲۸	۱/۲۹	۰/۳۲	$\alpha$
۰/۰۹	۰/۰۹	۰/۰۳	۰/۳۵	۰/۳۵	۰/۱۲	$\beta$
۰/۲۷	۱/۲۱	۰/۳۴	۰/۴۴	۰/۹۹	۰/۳۸	$\gamma$
۱/۲۱	۱/۸	۱/۱۹	۱/۹۱	۱/۵	۱/۸۱	$t_1$
۱/۶۶	۱/۴	۲/۴۳	۱/۶	۱/۵	۱/۹	$t_2$
۰/۴۳	۰/۵۹	۷۷۲/۵	۰/۹۱	۰/۹۲	۱۴/۴۹	$t_3$
۰/۶۲	۱/۱۳	۱۲۹/۴	۰/۹۱	۱/۰۹	۳/۱۷	میانگین



شکل (۶): دو مثال از تخمین موقعیت دوربین در تصاویر واقعی (تصاویر سمت چپ) و تصاویر مصنوعی تهیه شده با استفاده از پارامترهای دوربین محاسبه شده (تصاویر سمت راست).



شکل (۷): دو مثال از تخمین موقعیت دوربین در تصاویر مصنوعی (تصاویر سمت چپ) و تصاویر مصنوعی ساخته شده با استفاده از پارامترهای محاسبه شده دوربین (تصاویر سمت راست).



شکل (۸): دو نمونه از تصاویر ناموفق در استخراج خطوط مناسب (تصاویر بالایی). خطوط استخراج شده به اشتباه از تصاویر بالایی (تصاویر پایینی).

## سپاس‌گزاری

در این قسمت لازم می‌دانیم از همکاری آقای مهندس علی آقباقری که در جمع‌آوری داده‌های ارزیابی با ما همکاری داشتند؛ تشکر و قدردانی نماییم.

## مراجع

- [16] S. F. de Sousa Júnior, A. de A Araujo and D. Menotti, "An overview of automatic event detection in soccer matches," in 2011 IEEE Workshop on Applications of Computer Vision (WACV), 2011, pp. 31-38.
- [17] Q. Li and Y. Luo, "Automatic camera calibration for images of soccer match," in World Academy of Science, Engineering and Technology, 2005, pp. 170-173.
- [18] A. Ekin, A. M. Tekalp and R. Mehrotra, "Automatic soccer video analysis and summarization," IEEE Transactions on Image Processing, Vol. 12, pp. 796-807, 2003.
- [19] A. Hilton, J. Guillemaut, J. Kilner, O. Grau and G. Thomas, "3d-tv production from conventional cameras for sports broadcast," IEEE Transactions on Broadcasting, Vol. 57, pp. 462-476, 2011.
- [20] H. Kim and K. S. Hong, "Robust image mosaicing of soccer videos using self-calibration and line tracking," Pattern Analysis & Applications, Vol. 4, pp. 9-19, 2001.
- [21] T. Koyama, I. Kitahara and Y. Ohta, "Live mixed-reality 3d video in soccer stadium," in The Second IEEE and ACM International Symposium on Mixed and Augmented Reality, 2003, pp. 178-186.
- [22] D. Farin and J. Han, "Fast camera calibration for the analysis of sport sequences," in IEEE International Conference on Multimedia and Expo, 2005, pp. 482-485.
- [23] J. Puwein, R. Ziegler, L. Ballan and M. Pollefey, "PTZ camera network calibration from moving people in sports broadcasts," in IEEE Workshop on Applications of Computer Vision (WACV), 2012, pp. 25-32.
- [24] G. A. Thomas, "Real-time camera pose estimation for augmenting sports scenes," in 3rd European Conference on Visual Media Production (CVMP 2006), 2006, pp. 10-19.
- [25] C. Chatterjee and V. P. Roychowdhury, "Algorithms for coplanar camera calibration," Machine Vision and Applications, Vol. 12, pp. 84-97, 2000.
- [26] X. Meng and Z. Hu, "A new easy camera calibration technique based on circular points," Pattern Recognition, Vol. 36, pp. 1155-1164, 2003.
- [27] R. O. Duda and P. E. Hart, "Use of the Hough transformation to detect lines and curves in pictures," Communications of the ACM, Vol. 15, pp. 11-15, 1972.
- [28] R. Tsai, "A versatile camera calibration technique for high-accuracy 3D machine vision metrology using off-the-shelf TV cameras and lenses," IEEE Journal of Robotics and Automation, Vol. 3, pp. 323-344, 1987.
- [29] K. Sirisantisamrid, T. Matsuura and K. Tirasesth, "A simple technique to determine calibration parameters for coplanar camera calibration," in IEEE Region 10 Conference TENCON 2004, 2004, pp. 677-680.
- [1] M. Nakazawa, "Analysis of match activities in high school soccer players using mobile GPS and VRT methods," in Conference of International Society of Biomechanics in Sports (ISBS), pp. 147-150, August 2005.
- [2] M. B. Randers, I. Mujika, A. Hewitt, J. Santisteban, R. Bischoff and R. Solano, "Application of four different football match analysis systems: A comparative study," Journal of Sports Sciences, Vol. 28, pp. 171-182, 2010.
- [3] R. Hamid, R. K. Kumar, M. Grundmann, K. Kim, I. Essa, and J. Hodgins, "Player localization using multiple static cameras for sports visualization," in 2010 IEEE Conference on Computer Vision and Pattern Recognition (CVPR), 2010, pp. 731-738.
- [4] V. Pallavi, J. Mukherjee, A. K. Majumdar and S. Sural, "Graph-based multiplayer detection and tracking in broadcast soccer videos," IEEE Transactions on Multimedia, Vol. 10, pp. 794-805, 2008.
- [5] M. Leo, T. D'Orazio, P. Spagnolo, P. L. Mazzeo and A. Distante, "Multi-view player action recognition in soccer games," in Computer Vision/Computer Graphics Collaboration Techniques, ed: Springer, 2009, pp. 46-57.
- [6] S. H. Khatoonabadi and M. Rahmati, "Automatic soccer players tracking in goal scenes by camera motion elimination," Image and Vision Computing, Vol. 27, pp. 469-479, 2009.
- [7] N. Inamoto and H. Saito, "Virtual viewpoint replay for a soccer match by view interpolation from multiple cameras," IEEE Transactions on Multimedia, Vol. 9, pp. 1155-1166, 2007.
- [8] X. Desurmont, J. Hayet, J. Delaigle, J. Piater and B. Macq, "Trictrac video dataset: Public HDTV synthetic soccer video sequences with ground truth," in Workshop on Computer Vision Based Analysis in Sport Environments (CVBASE), 2006, pp. 92-100.
- [9] T. D'Orazio, M. Leo, P. Spagnolo, P. L. Mazzeo, N. Mosca, M. Nitti and A. Distante, "An investigation into the feasibility of real-time soccer offside detection from a multiple camera system," IEEE Transactions on Circuits and Systems for Video Technology, Vol. 19, pp. 1804-1818, 2009.
- [10] J. Kilner, J.-Y. Guillemaut and A. Hilton, "3d action matching with key-pose detection," in 2009 IEEE 12th International Conference on Computer Vision Workshops (ICCV Workshops), 2009, pp. 1-8.
- [11] S. Hashimoto and S. Ozawa, "A system for automatic judgment of offsides in soccer games," in 2006 IEEE International Conference on Multimedia and Expo, 2006, pp. 1889-1892.
- [12] F. Szenberg, P. C. P. Carvalho and M. Gattass, "Automatic camera calibration for image sequences of a football match," in Advances in Pattern Recognition: ICAPR 2001, ed: Springer, 2001, pp. 303-312.
- [13] V. Babaee-Kashany and H. R. Pourreza, "Camera pose estimation in soccer scenes based on vanishing points," in 2010 IEEE International Symposium on Haptic Audio-Visual Environments and Games (HAVE), 2010, pp. 1-6.
- [14] D. Farin, S. Krabbe and W. Effelsberg, "Robust camera calibration for sport videos using court models," in SPIE Proceedings, Vol. 5307, Storage and Retrieval Methods and Applications for Multimedia, 2003, pp. 80-91.
- [15] I. Jabri, "Camera calibration using court models for real-time augmenting soccer scenes," Multimedia Tools and Applications, Vol. 51, pp. 997-1011, 2011.

## زیرنویس‌ها

- <sup>1</sup> Real time
- <sup>2</sup> Court models
- <sup>3</sup> Circular points
- <sup>4</sup> Vanishing point
- <sup>5</sup> Hough transform
- <sup>6</sup> Coplanar
- <sup>7</sup> Noncoplanar
- <sup>8</sup> Labeling
- <sup>9</sup> Connected component
- <sup>10</sup> Projective

- <sup>۱۱</sup> Pin hole
- <sup>۱۲</sup> Aspect ratio
- <sup>۱۳</sup> Perspective projection
- <sup>۱۴</sup> Colinearity
- <sup>۱۵</sup> Least mean square
- <sup>۱۶</sup> Pseudo-inverse
- <sup>۱۷</sup> Singular value decomposition